

Synthesis and Spectroscopic Studies of thiadiazole octa dentate ligand with its binuclearear complex

تحضير ودراسة طيفية ثايديازول ثماني المخلب مع معقد ثماني النواة

جهان حميد عبد الأمير

جامعة كربلاء

كلية التربية

أ.د صالح مهدي حداود

جامعة كربلاء

كلية الزراعة

أ.م.د عاشور حمود داود

جامعة المستنصرية

كلية الصيدلة

البحث مستل

الخلاصة

تضمن البحث تحضير ليكائد (H₂L) للثايديازول ثماني السن نوع (S₄N₂O₂) هو-1,2-ethane-2-diylbis(sulfanediyl))bis(1,3,4-thiadiazol-2-amine) وتحليله عملياً التصعيد العكسي. وحضر المعقد الكيليتبي للليكائد مع أيون Co²⁺ وشُخصَّ الليليَّة والمعقد المحضر بواسطة اطيف الأشعة تحت الحمراء (FT-IR) والأشعة فوق البنفسجية – المرئية (Visible) وطيف الرنين النووي المغناطيسي (NMR) (Mass Spactroum) (H, ¹³C NMR) وطيف الكتلة (Mass Spectrometry) والتحليل الكمي الدقيق للعناصر (C.H.N.S.O) والحساسية المغناطيسية وتم قياس درجات الانصهار، والتوصيلية المولارية (Molar Conductivity) للمعقد المحضر.

وذلك تم دراسة نسبة الفلز إلى الليكائد للمعقد المحضر من خلال إيجاد نسبة الأيون إلى الكاشف (M:L) باستخدام طريقة النسبة المولية؛ حيث هذه الطريقة إن نسبة (M:L) هي نسبة (2:1) للمعقد المحضر حيث تم حساب درجة الفكاك (α) وثابت الاستقرارية (K_{sta}) للمعقد المكون وكانت قيمته عالية مما يدل على الاستقرارية العالية للمعقد. وكذلك تمت دراسة تأثير درجة الحرارة على ثابت استقرارية للمعقد المذكور. وتم حساب الدوال الحرموديناميكية (ΔH, ΔG, ΔS) للمعقد حيث أوضحت الدراسة إن تفاعل تكوين المعقد ماض للحرارة ويحصل بصورة تلقائية. وبينت الدراسة الطيفية وقياس العزم المغناطيسي أن الشكل الهندسي المتوقع للمعقد هو ثماني السطوح.

Abstract

The work included preparation of thiadiazole ligand and its complex. The ligand and complex of Co²⁺ Synthesis were characterized by FT-IR ,UV-Vis , ¹H , ¹³C NMR ,Mass Spectroscopy and C.H.N.S.O elementary analysis. In addition to the molar conductivity and magnetic successpitibilty. Stability constant and mole ratio was carried out of prepared complexe. The thermodynamic parameters ΔH ,ΔG ,ΔS were measured. The spectroscopic studies and magnetic moments measurement showed the square planer geometry.

المقدمة

حظيت الكيمياء التناسقية باهتمام الكثير من الباحثين في حقل الكيمياء عبر النصف الثاني من القرن المنصرم لتطورها السريع في الجوانب العملية المتمثلة في تحضير المركبات المعقدة فضلاً على إسهامها في معرفة تركيب هذه المعقدات. تطلق تسمية المركبات التناسقية (Coordination compounds) أو المعقدات

الفلزية (Metal complexes) على المركبات التي تحتوي على أيون أو ذرة مركزية محاطة بعده من الأيونات أو الجزيئات العضوية أو غير العضوية التي تمتلك مزدوجات الكترونية غير مشاركة قابلة للتأثر تسمى ليكادات⁽¹⁾. يعتبر المركب CoCl₃.6NH₃ من أوائل المركبات التناسقية المحضرة من قبل العالم فيرنر (Werner) والذي يعد بحق الرائد في هذا المضمار. وقد أصبحت كيمياء التناسق موضوع اهتمام وبحث مستمر من ذاك تحضير المركب المشار إليه في سنة 1798. وقد أدلت هذه المعقدات دوراً مهماً ومتناهياً في مجالات مختلفة في الصناعة⁽²⁾ والزراعة⁽³⁾ والطب⁽⁴⁾ إذ تم اختبارها وأثبتت جدواها في هذه المجالات.

إن تكوين المعقدات الفلزية هي ظاهرة عامة لا تقتصر على العناصر الانتقالية⁽⁵⁾ وإنما تشمل العناصر الممثلة⁽⁶⁾ أيضاً. ولكلتا النوعين من الفلزات يجب توفير أوربيتالات فارغة ذات طاقة واطنة أو معدندة تمايز تلك الأوربيتالات الموجودة في الذرات المانحة والتي تدخل في تركيب الليكائد، ومن بين الكم الكبير من الليكادات العضوية عدت مركبات الازو (azo compounds) وقواعد شف(Schiff bases) ومركبات الأزوأزوميثين (azomethine compounds) من المركبات المهمة وذلك لامتلاكها الفاعلية في تكوين الكثير من المعقدات الفلزية مع العناصر الفلزية عامة والانتقالية منها خاصة.

تنصف المركبات الحلقية غير المتجانسة بأحتواها على ذرات مانحة للإلكترونات مثل نتروجين أو كبريت أو أوكسجين داخل النظام الحلقي^[7]. وتمتاز الكثير من مشتقات هذه المركبات بفعالية بایولوجیة ودوائیة. تناول حلقة الثايديازول^[8,9] جزء مهم في العديد من المركبات ذات الفعالية البايولوجية مثل B1^[10], Vitamin B1^[10], مضادات الالتهابات, مضادات البكتيريا. تركز أهتمام الباحثين على تحضير الثايديازولات ومشتقاتها لما تملكه هذه المركبات من أهمية تطبيقية في مختلف المجالات الطبية والدوائية^[11]. وقد وجد بأن المجاميع المعوضة في هذه الحلقات تزيد من فعاليتها كمضادات لأنواع من الفطريات ضد بكتيريا. أدخلت مشتقات الثايديازول المعوضة ضمن تراكيبي الأدوية المستخدمة في علاج الكثير من الأمراض منها التهابات المفاصل ومسكن الصرع^[10]، والأورام السرطانية والأنشطة المضادة للسل^[12]. تبين في الجانب الصناعي أن مشتقات الثايديازول لها تطبيقات مهمة في صناعة

أصباغ^[13] ذات استقرارية عالية تجاه الضوء والرطوبة واسخدمت في الطباعة على المنسوجات القطنية والحريرية بألوان مختلفة حسب نوع المركب المتفاعل مع مشتقات الثاليازول واستخدمت هذه المشتقات في عمليات التصوير الفوتوغرافي^[14]، واستخدمت في معالجة التاكل الذي يصيب الفولاذي استخدمت في معالجة التاكل الذي يصيب اللدائن المقاومة للحرارة والحاوية على حشوات معدنية في الأجهزة الكهربائية والألكترونية^[15]. حيث ركز اهتمام الباحثين خلال العشر سنوات الأخيرة على مرکبات Anti-thiadiazole ومشتقاتها وخاصة 1,3,4-thiadiazole لما تتمتع من أهمية اتجاه العديد منها مضاد للالتهابات -Anti-inflammatory مسكن للألام Analgesic ، مضاد للبكتيريا Antibacterial ، مضاد للأورام Antitumor ، مضاد للفطريات Antifungal ، مضاد للجراثيم Antimycobacterial ، مضاد للتشنجات Anticonvulsant ، مضاد لداء السكري Antidiabetic ، مضاد لشلل Antiparkisan ، مضاد لضغط الدم antihypertensive^[16] ، مضاد للأكسدة Antioxidant ، مضاد للأصباغ Dyes ، وكمبيطات للأكسدة Oxidation Inhibitors ، ومنظفات التاكل Corrosion Pharmaceuticals ، وكمبيطات للأكسدة Pharmaceuticals . وأن سبب هذه الفعالية البايولوجية تعود إلى وجود مجموعة $\text{N}=\text{C}(\text{H})\text{S}$ التي تحتوي على ذرات ماخنة للألكترونات^[17-19].

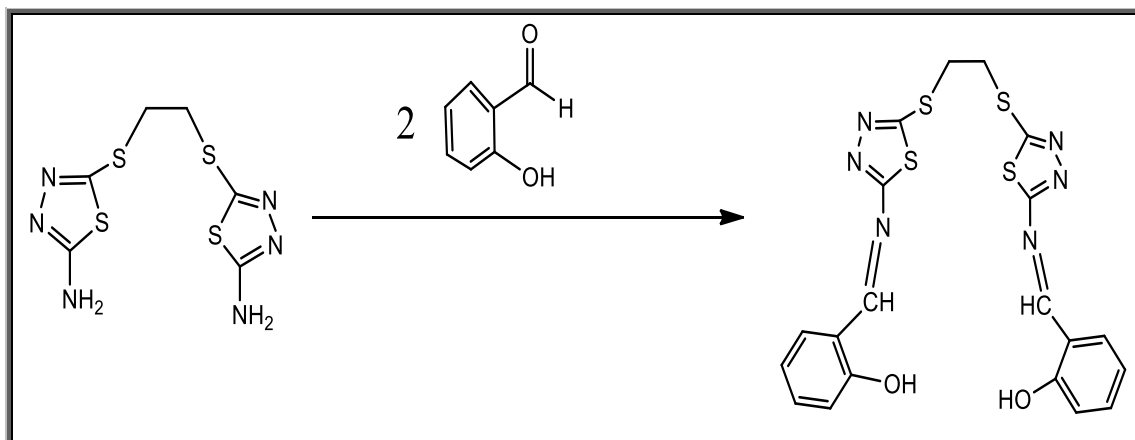
2- الجزء العلمي:

جهزت جميع المواد المستعملة من شركات كل من Merck و Sigma-Aldrich و G.C.C و BDH و بدون أية عمليات تنقية إضافية ، قيست درجات الانصهار بإستخدام [Stuart melting point]SMP3O ، ودرست أطياف الأشعة فوق البنفسجية – المرئية بإستخدام جهاز Shimadzu – 1800 – Japan ، ودرست أطياف الرنين النووي المغناطيسي ^1H , ^{13}C NMR بإستخدام جهاز Shimadzu FTIR – 8400 ، ودرست أطياف الرنين النووي المغناطيسي ^1H , ^{13}C NMR Spectrometer 400 MHZ ,Avance III 400 Bruker,(Germany) ، ودرس طيف الكتلة باستعمال جهاز Shimadzu Ufms Gcms- TQ8030 [Mennent] أجريت الدراسة الترموديناميكية بإستخدام حمام مائي W13/0137-45 ، قيست التوصيلية المولارية بإستخدام جهاز Digital conductivity Meter-WT-720-inoLab [EURO EA 3000 Single] (Germany) وتم قياس التحليل الكمي الدقيق للعناصر (C.H.N.S.O) باستخدام جهاز Instruction Manual(V.3.0.Single)]

تحضير الليكанд $[\text{H}_2\text{L}]$

Synthesis of Ligand $[\text{H}_2\text{L}]$

في دورق دائري الشكل سعة (250 مل) تم وضع (0.5 غم، 1.709 ملي مول) من الليكанд $[\text{H}_4\text{L}]$ مذاب في (35 مل) من الإيثanol (ethanol) مع التحريك المستمر لمدة عشر دقائق، ثم أضيف (0.4176 غم، 0.419 ملي مول) من سالسيلديهايد (salicylaldehyd) بنسبة 2:1 (salicylaldehyd:L) ب بصورة تدريجية وبطئه (drop wise)، ترك المزيج للتتصعيد العكسي لمدة ساعتين و عند درجة حرارة (80°C) لوحظ أثناء سير التفاعل تغير في اللون، وبعد انتهاء التفاعل تكون راسب أصفر، ترك المزيج يبرد عند درجة حرارة المختبر، رشح، غسل بالإيثانول البارد، الأثير مرتين، أعيد بلوترته من الإيثanol، جفف الراسب وأعطي راسبًا أصفر بوزن (0.265 غم)، نسبة منتوج (%) ودرجة الانصهار (242 °C) dec.

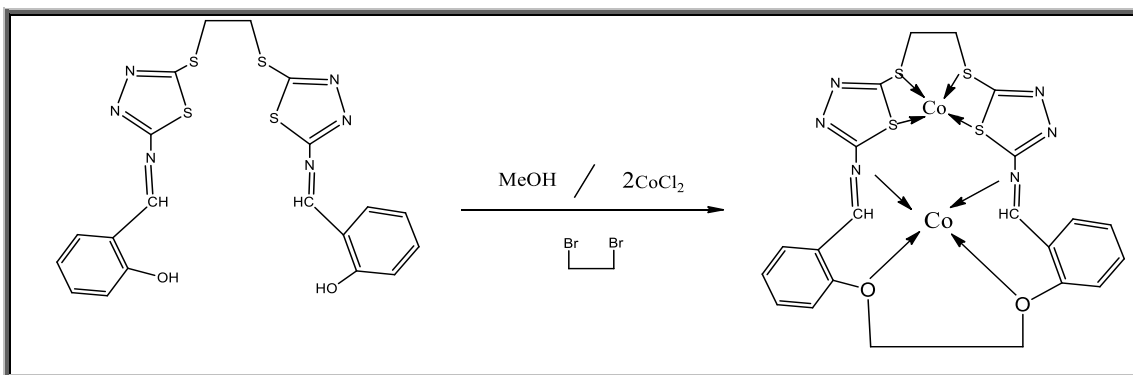


تحضير المعدّ :

تحضير معقد الكوبالت الثنائي Co^{+2}

حضر المعقد بنسبة (1:2) (فلز:ليكاند) وكما يأتي:

في دورق دائري سعة(100مل) وضع(0.25غم، 0.499 ملي مول) من $[\text{H}_2\text{L}]$ المحضر^[21] المذاب في(20مل) من الميثانول ثم أضيف (0.099غم، 0.526 ملي مول) من ثانوي بروموا إيثان مع التحريك المستمر أضيف(0.25غم، 0.511 ملي مول) من كلوريد الكوبالت $(\text{CoCl}_2 \cdot 6\text{H}_2\text{O})$ المذاب في(5مل) من الميثانول بصورة تدريجية وبطيئة (drop wise)، ترك محلول للتصعيد العكسي مع التحريك المستمر لمدة ساعتين للاحظ أثناء سير التفاعل تغير في اللون، وبعد انتهاء التفاعل تكون راسب أزرق غامق، ترك المزيج يبرد عند درجة حرارة المختبر، رشح، غسل بالميثانول، الإيثر مرتين، جفف الراسب، وأعطي راسب أزرق غامق وزن(0.501غم) ، نسبة المنتوج (%) 69 ، درجة الانصهار (117°C).



المخطط (1-2) : تحضير معقد الكوبالت (II) مع الليكاند $[\text{H}_2\text{L}]$

جدول (2-2) : يوضح الخصوصيات الفيزيائية لليكاند ومعقد الكوبالت (II) المحضر.

Compound	$m - PCo$	M.Wt g/mol	Colour	Yield %
H_2L	242dec.	500.64	أصفر	31
$[\text{Co}_2(\text{L})\text{Cl}_4]$	117dec.	689.506	أزرق غامق	69

3- النتائج والمناقشة

جدول (1-3) يبين ذوبانية الليكاند ومعقد الكوبالت (II) في مذيبات مختلفة

Compound	DMF	DMSO	MeOH	H_2O	Aceton	Benzene	<i>n</i> -Hexane	$CHCl_2$	Acetonitrile
H_2L	+	+	+	-	-	-	-	-	-
$[\text{Co}_2(\text{L})\text{Cl}_4]$	+	+	+	÷	-	-	-	÷	+

غير ذاتية(-) ، (+) ذاتية ، (÷) ذاتية جزئيا.

جدول (3-2): نتائج التحليل الكمي الدقيق (C.H.N.S.O) لليكاند و معقده

Compound	<i>C</i> %		<i>H</i> %		<i>N</i> %		<i>S</i> %		<i>O</i> %	
	CalC.	Found								
H_2L	47.98	47.96	3.22	3.21	16.79	16.77	25.62	25.60	6.39	6.37
$[\text{Co}_2(\text{L})\text{Cl}_4]$	41.00	41.02	2.81	2.79	13.04	13.02	19.90	19.88	4.96	4.94

جدول (3-3): قيمة التوصيلية المولارية لمعقد الكوبلت (II) في مذيب ثانوي مثل سلفوكسайд بتركيز (1×10^{-3}) مولاري وبدرجة حرارة المختبر.

Complex	$\Lambda_m (\text{S.mol}^{-1}.\text{cm}^2)$
In(DMSO)	
[Co ₂ (L) Cl ₄]	4.6

جدول (4-3): يوضح قيم μ_{eff} و λ_{max} للمعقد المحضر بدرجة 25 °C

المعقد	$\lambda_{\text{max}}(\text{nm})$	الحساسية الغرامية $X_g \times 10^{-6}$	الحساسية المولارية $X_M \times 10^{-6}$	معامل تصحيح الدایامقاطيسية $D \times 10^{-6}$	الحساسية الذرية $X_A \times 10^{-6}$	العزم المقاطيسي μ_{eff} الفعال (B.M)
[Co ₂ (L) Cl ₄]	652	4.142	2611.899	355.94	2967.839	4.3

استقرارية معقد الكوبلت (II):
تحديد الظروف الفضلى لتكوين المعقد:

تأثير الدالة الحامضية على تكوين المعقد

قد أستدل على الدالة الحامضية الفضلى لتكوين معقد للأيون (Co²⁺) وذلك من خلال الشدة اللونية لعدد من محلائل مزج الأيون الفلزي والليكанд عند الدوال الحامضية 10, pH=7, pH=4, pH=1, وان الدالة الفضلى هي التي أعطت أقوى شدة لونية لمحلول مزج الأيون الفلزي مع الليكанд وهي الدالة الحامضية (PH=10) أي الوسط القاعدي.

تأثير الزمن على استقرارية المعقد المتكوين

لبيان مدى استقرارية المعقد المحضر تمت دراسته عند الطول الموجي الأعظم (λ_{max}) عن طريق المتابعة في التغير الحاصل بالأمتصاص لمحلول المعقد لمدة زمنية تراوحت من لحظة مزج محلائل وصولاً إلى (60 دقيقة) إن الفترة اللازمة للحصول على أقصى امتصاص لمحلول المعقد تباينت بين (50-60 دقيقة) وبعد هذا الزمن كافياً لإجراء الدراسات اللاحقة نتائج هذه الدراسة موضحة في الجدول (5-3). إذ يتضح مدى استقرارية محليل هذا المعقد حيث يبقى المعقد مستقر (بدلاً فية الأمتصاص) لمدة (50-60 دقيقة) من بدء التكوين.

جدول (5-3): تأثير الزمن في الامتصاص لمحلول مزج الأيون الفلزي مع الليكанд قيد الدراسة

Time/min	5	10	20	30	40	50	60
Abs. [Co ₂ (L)Cl ₄]	0.423	0.495	0.563	0.598	0.645	0.699	0.721

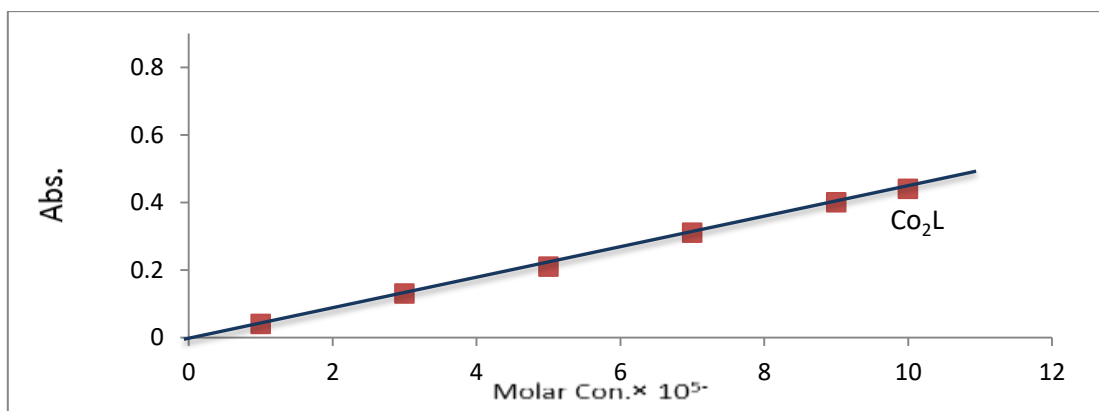
تأثير درجة الحرارة على استقرارية المعقد:

تلعب درجة الحرارة دوراً بارزاً في استقرارية المعقد الفلزي فهي قد تزيد من سرعة التفاعل اللازم لتكوين المعقد فيما تعد درجات الحرارة العالية غير محبذة في بعض التفاعلات كونها تؤدي إلى تفكك كثير من المعقدات وخصوصاً ذلك النوع يتضمن ليكандات متطرفة^[22]. ونتائج هذه الدراسة موضحة في الجدول (5-6) إذ تزداد قيم الامتصاص بزيادة درجة الحرارة وقد يعود ذلك إلى زيادة استقرارية المعقد في درجات الحرارة العالية.

جدول (3-6) : تأثير درجة الحرارة في الامتصاص لمحاليل مزج الأيون الفلزي مع الليكанд قيد الدراسة

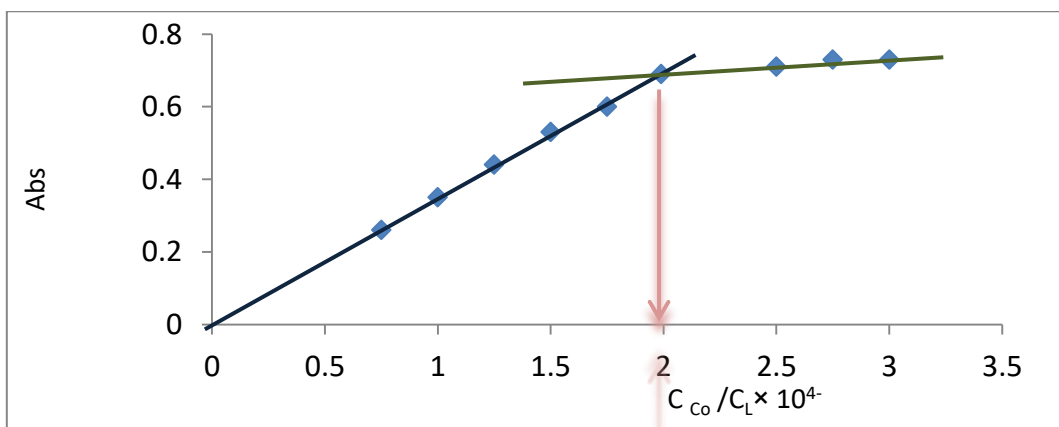
Temperature/K	273	283	293	303	313	323	333
Abs. [Co ₂ (L) Cl ₄]	0.344	0.387	0.411	0.457	0.536	0.597	0.601

درست تراكيز عديدة لمحاليل خلط ايون فلزي مع الليكанд لمعرفة التراكيز التي تمثل القياسات الطيفية أي تلك التي تخضع لقانون لامبرت – بير، وقد تبين ان التراكيز بين ($10^{-5} \times 10^4$) مولاري هي التراكيز المناسبة للدراسة الطيفية اما التراكيز الاعلى فقد استبعدت لعدم خصوصيتها لهذا القانون والشكل هذه تبين العلاقة بين التراكيز و الامتصاصيات المقابلة لمحاليل مزج ايون فلزي مع الليكанд.



الشكل (1-3): منحني المعايرة للأيون الفلزي مع الليكанд

تعد طريقة النسبة المولية هي الأفضل والأكثر استخداماً في تحديد صيغة المعقد الذاتي إذ يتم قياس امتصاصية سلسلة من المحاليل الحاوية على كميات متغيرة من احد المكونات بثبوت المكونة الأخرى عند (λ_{max}) للمعقد وترسم العلاقة بين الامتصاص والنسبة المولية ليكанд : الفلز. وتبيّن الأشكال هذه منحنىات النسبة المولية لهذه المعقدات والتي تشير جميعها إلى إن النسبة المولية للمعقدات المتكونة هي (1:2).



الشكل (3-3) منحني النسبة المولية لمحاليل المعقد المحضر عند (λ_{max})

جدول (7-3): ثابت الاستقرار للمعقد الكيليتى لأيون الكوبالت (II) مع الليكائد

Complex	A _s	A _m	α	K _{stab.}
[Co ₂ (L) Cl ₄]	0.69	0.73	0.054	1.62×10^6

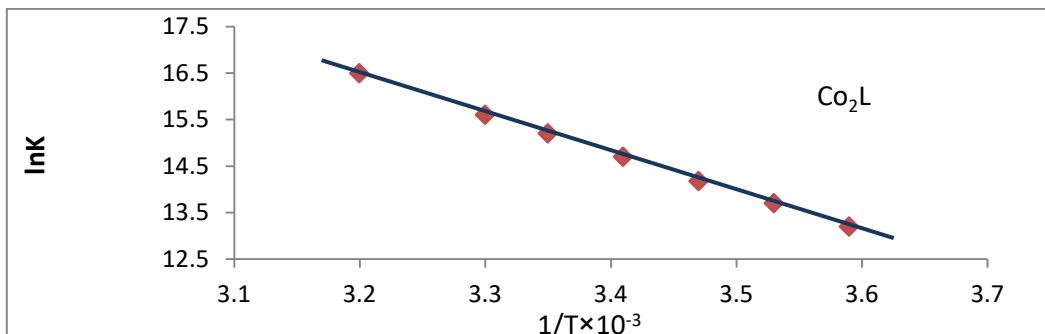
يتضح من الجدول (7-3) ان القيمة العالية K_{Stab} للمعقد الكيليتى للكوبالت ثانى التكافؤ يتمتع باستقرارية عالية . ومن قيمة (K) يمكن حساب الدوال الترموديناميكية ΔS ، ΔH ، ΔG و يبين الجدول (8-3) قيم الدوال الترموديناميكية للمعقد المحضر ، وتم الاعتماد على ثابت الاستقرارية المحسوبة في كل درجة حرارية لحساب (ΔG) من العلاقة :

$$\Delta G = -RTLnK$$

اما (ΔH) فقد تم حسابها باستخدام معادلة فانت هو夫 :
تم حساب (ΔS) كما مثبت في الجدولين المشار اليهما اعلاه من العلاقة :

$$\Delta G = \Delta H - T\Delta S$$

ان الطاقة الحرية لعملية التناسق يمكن تجزئتها الى جزأين هما انتالبي التنساق وانتروبي التنساق ومن خلال القيمة التي تم الحصول عليها يتبيّن ان تفاعل تكوين معقد الكوبالت الثنائي مع الليكائد هي تفاعل ماص للحرارة ($+ \Delta H$) ، أي ان زيادة درجة الحرارة تسبب زيادة ثابت استقرار معقد الكوبالت. اما (ΔS) فكانت ذات قيمة موجبة في تفاعل التكوين معقد الكوبالت ، ويظهر ان عملية التنساق هنا تلقاءٍ وذلك من خلال القيمة السالبة الكبيرة للطاقة الحرية .



شكل(3-3): يبين المنحنى البياني بين قيم (1/T) وقييم (LnK) لأيون (Co²⁺) مع الليكائد

الجدول (8-3): قيم الدوال الترموديناميكية للمعقد الكوبالت (II) مع الليكائد

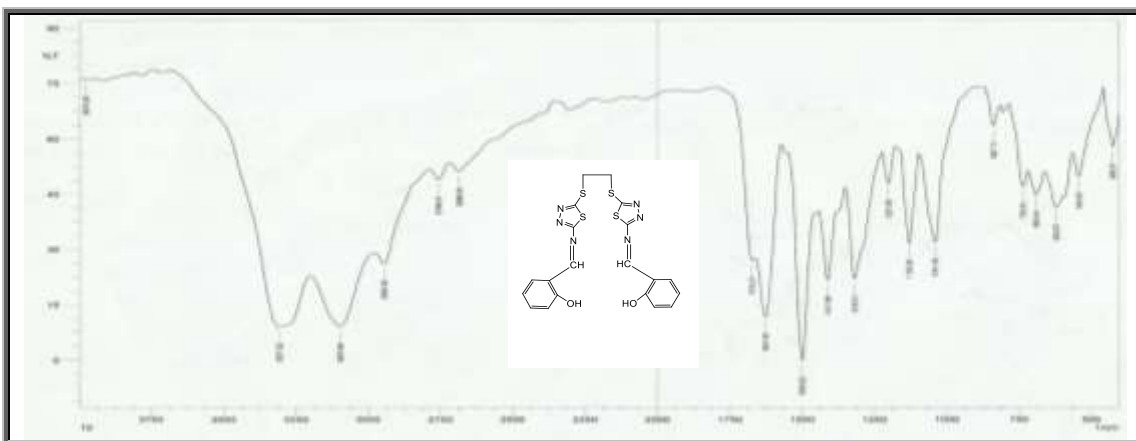
compound	$1/T \times 10^{-3}$	α	K	LnK	ΔH $J.mol^{-1}$	ΔG $J.mol^{-1}$	ΔS $KJ.mol^{-1}.K^{-1}$
[Co ₂ (L) Cl ₄]	3.597	0.66	1.07×10^6	13.9	62.8372	-32.126	0.34159
	3.533	0.054	1.62×10^6	14.3		-33.645	0.34092
	3.472	0.044	2.46×10^6	14.7		-35.198	0.3404
	3.412	0.034	4.17×10^6	15.2		-37.027	0.34083
	3.355	0.029	5.77×10^6	15.6		-38.650	0.34056
	3.30	0.019	9.23×10^6	16.0		-40.306	0.34040
	3.246	0.017	17.0×10^6	16.6		-42.507	0.34202

تشخيص المركبات

أطيف الأشعة تحت الحمراء (FT-IR) لليكанд والمعقد

طيف الأشعة تحت الحمراء لليكанд (H_2L)

أظهر طيف الأشعة تحت الحمراء (H_2L) (شكل 4-3) حزم مميزة حيث أظهر قمة عند تردد (3307) cm^{-1} تعود لمط الأصরة ($\text{O}-\text{H}$) الفينولية وأظهر قمة عند تردد (3097) cm^{-1} تعود لمط الأصরه ($\text{C}-\text{H}$) الأروماتيه . وحزمة مميزة عند تردد (2945) cm^{-1} تعود لمط الأصরة ($\text{C}-\text{H}$) الأليفاتيه وحزمة عند العدد الموجي (1640-1580) cm^{-1} تعود لمط الأصরة ($\text{C}-\text{N}$) لمجموعة الأزوميثين ، وأظهر حزمتين مميزتين عند تردد (1627,1500) cm^{-1} تعود لمط الأصরة ($\text{C}=\text{N}$) حيث تقعان في بيتان مختلفان داخل الحلقة. أما الحزمة عند عدد موجي (1411) cm^{-1} تعود لحنى الأصরه ($\text{C}-\text{OH}$). و حزمة عند العدد الموجي (1319) cm^{-1} تعود لمط الأصরة ($\text{C}-\text{N}$) . أما الحزم عند عدد موجي (1201-1041-1130) cm^{-1} تعود لمط الأوصر($\text{C}-\text{O}$) ($\text{C}-\text{C}$), ($\text{C}-\text{N}$) على التوالي وحزمة عند تردد (734) cm^{-1} تعود لمط الأصরة ($\text{C}-\text{S}-\text{C}$) كما وردت في الأدب[23].

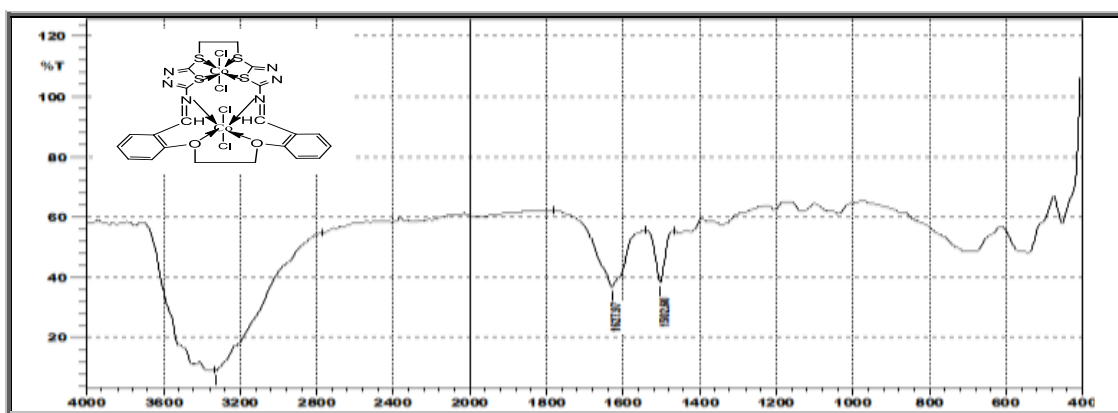


الشكل (4-3) طيف الأشعة تحت الحمراء (H_2L)

طيف الأشعة تحت الحمراء للمعقد

أظهر طيف الأشعة تحت الحمراء للمعقد المحضر مع الليكанд (H_2L) الموضح في الشكل (5-3) حزم مميزة تختلف عما أظهره طيف الليكанд الحر. إذ لوحظ انتزاع بعض الحزم واختفاء بعضها مع ظهور حزم أخرى دلالة على تحضير الليكанд من جهة وحصول التناسق بين الليكанд والفالز من جهة أخرى. أظهر الليكанд حزمة مميزة عند العدد الموجي (1674) cm^{-1} تعود لمط الأصরة ($\text{C}=\text{N}$)

أما طيف الأشعة تحت الحمراء للمعقد المحضر فقد أظهر انتزاعا نحو تردد أقل لحزمة الأمتصاص العائد لمجموعة الأزوميثين. كما ورد في الأدب[24]. وهذا دليل على تناسق ذرة التتروجين مع الأيون الفازى، والتي ظهرت عند تردد (1627) cm^{-1} وحزمة عند العدد الموجي ذو مدى (1592) cm^{-1} تعود لمط الأصরة ($\text{C}-\text{O}$) [25]. فقد أظهرت انتزاعا نحو تردد أعلى على تناسق ذرة الأوكسجين مع الأيون الفازى كما ورد في الأدب[25]. إضافة إلى ظهور قمم جديدة عند العدد الموجي (710) cm^{-1} تعود لمط الأصরة ($\text{M}-\text{O}$) [26] و عند تردد (565) cm^{-1} تعود لمط الأصরة ($\text{M}-\text{N}$) [26] و عند تردد (445) cm^{-1} تعود لمط الأصরة ($\text{M}-\text{S}$) كما ورد في الأدب[23].

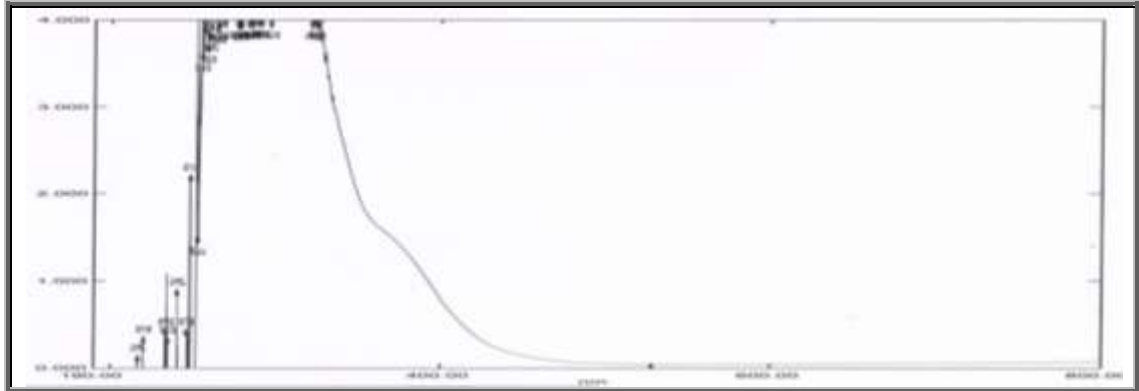


الشكل (5-3): طيف الأشعة تحت الحمراء للمعقد [$\text{Co}_2(\text{L})\text{Cl}_4$]

طيف الأشعة فوق البنفسجية-المرئية.

طيف الأشعة فوق البنفسجية – المرئية لليكанд $[H_2L]$

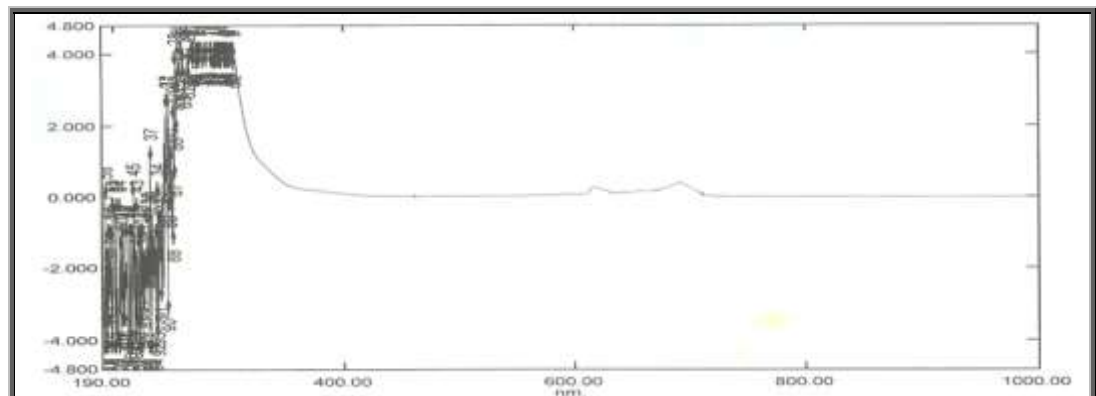
اظهر طيف الأشعة فوق البنفسجية – المرئية لليكанд الحر $[H_2L]$ ، شكل(3-6) قمة امتصاص عريضة عند طول الموجي (324-3252 نانومتر $(\text{nm}) = \epsilon_{\text{max}}^{-1} \text{ مولاري}^{-1} \cdot \text{سم}^{-1}$) تعود إلى الانتقالات الالكترونية $\pi \rightarrow \pi^*$. وكتف عند طول موجي (378-39682 نانومتر $(\text{nm}) = \epsilon_{\text{max}}^{-1} \text{ مولاري}^{-1} \cdot \text{سم}^{-1}$) يعود إلى الانتقالات الالكترونية $\pi \rightarrow n$ كما وردة في الادبيات^[27].



الشكل (3-6): طيف الأشعة فوق البنفسجية-المرئية لمحلول الليكанд $[H_2L]$

طيف الأشعة فوق البنفسجية والمرئية للمعقاد.

اظهر طيف الأشعة فوق البنفسجية والمرئية للمعقاد $[\text{Co}_2(\text{L})\text{Cl}_4]$ شكل (7-3) قمة امتصاص عريضة عند الطول الموجي بين (302-3268) نانومتر $(\text{nm}) = \epsilon_{\text{max}}^{-1} \text{ مولاري}^{-1} \cdot \text{سم}^{-1}$ تعود إلى الانتقال الشحنة والمجال الليكاني . وقمة امتصاص عند الطول الموجي (614) نانومتر $(\text{nm}) = \epsilon_{\text{max}}^{-1} \text{ مولاري}^{-1} \cdot \text{سم}^{-1}$ هذه القمة تعود إلى الانتقال ${}^4T_1 \rightarrow {}^4T_1^P$ و قمة امتصاص عند الطول الموجي (679) نانومتر $(\text{nm}) = \epsilon_{\text{max}}^{-1} \text{ مولاري}^{-1} \cdot \text{سم}^{-1}$ هذه القمة تعود إلى الانتقال d-d نوع ${}^4T_2 \rightarrow {}^4T_1$ ، حسب مخطط اوركل.



الشكل (7-3): طيف الأشعة فوق البنفسجية – المرئية للمعقاد $[\text{Co}_2(\text{L})\text{Cl}_4]$

أطياف الرنين النووي المغناطيسي

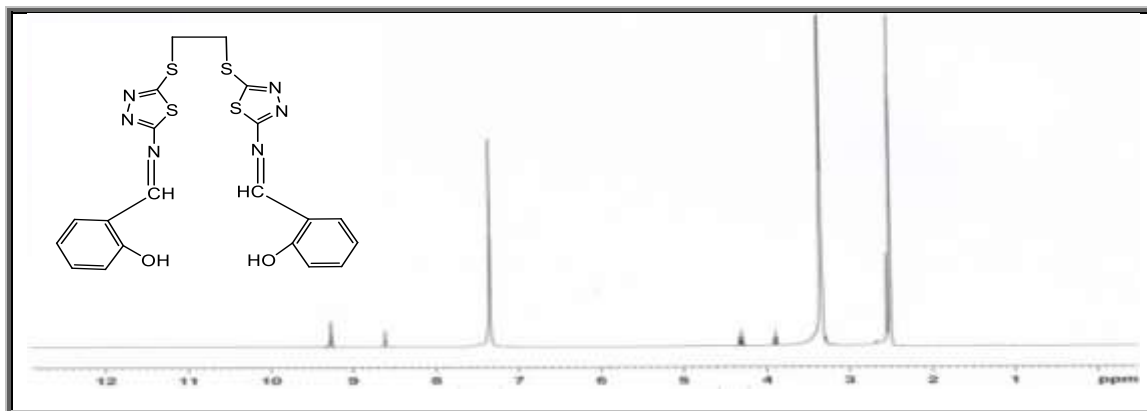
Spectra

^1H and ^{13}C NMR

طيف الرنين النووي المغناطيسي ^1H NMR لليكанд $[H_2L]$ و معقد.

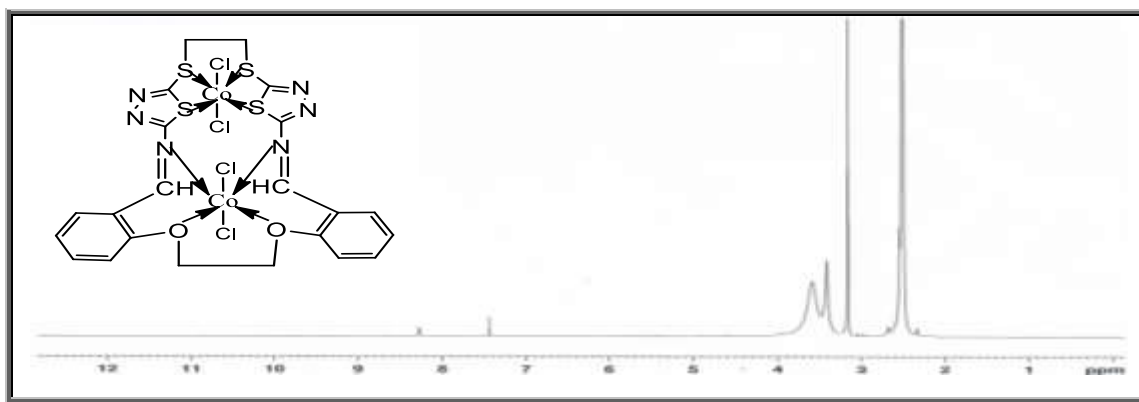
اظهر طيف الرنين النووي المغناطيسي لبروتونات الليكанд $[H_2L]$ في مذيب $\text{DMSO}-d_6$ الشكل (8-3) الازاحة الكيميائية عند $\delta = 9.27 \text{ ppm}$, 2H تعود إلى بروتونات مجاميع الهيدروكسيل الاروماتية لحلقة الفينول، اما الازاحة عند $\delta = 8.54 \text{ ppm}$, 2H يمكن اعزائها إلى بروتونات ذرة الكاربون في مجموعة الازوبيثين في حين اظهرت بروتونات حلقي البنزين الثمانية اشاره متعدده عند $\delta = 7.42 \text{ ppm}$, 8H متأثرة بالتعويض على الموقعين 1 و 2 على الحلقة والذي يتفق مع الكثير من الادبيات التي ناقشت أنظمة مشابهة^[28] والازاحة الكيميائية عند $\delta = 3.91 \text{ ppm}$, 4H $\delta = 4.30 \text{ ppm}$ فأنها تعود إلى

مجموعتي المثنين المتماثلة بالجسر الرابط بين ذراعي الليكанд وهذا الاختلاف يشير الى حرية الحركة للمجاميع بين الذراعين حول الاصرة سيكما للجسر.



الشكل(8-3): طيف ^1H NMR $[\text{H}_2\text{L}]$ للليكанд

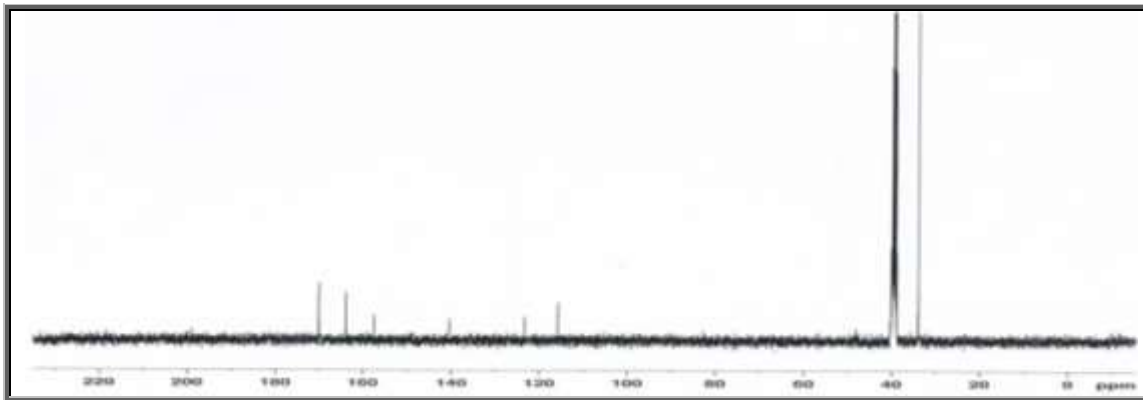
في حين اظهر طيف الرنين النووي المغناطيسي ^1H NMR $[\text{Co}_2(\text{L})\text{Cl}_4]$ للمعقد (الشكل 9-3) تأثير التناص على الليكанд الحر بأختفاء الاشارة التي تعود لبروتونات مجموعتي الهيدروكسيل الاروماتية لحلقة الفينول التي كانت موجودة في الليكанд الحر عند ($\delta=9.27$ ppm, 2H) وتغير أماكن الانزياح الكيميائي إذ اظهر الانزياح ($\delta=8.25$ ppm, 4 H) تعود الى بروتونات ذرة الكاربون في مجموعة الازوبيثين أما الازاحة الكيميائية عند ($\delta=7.48$ ppm, 8 H) تعود الى حلقي البنزرين متماثلة البيئة في حين أظهر الطيف الازاحة الكيميائية عند ($\delta=3.13$ ppm, 4 H) تعود الى مجموعتي المثنين المتماثلين للبيئة .



الشكل(9-3): طيف ^1H NMR $[\text{Co}_2(\text{L})\text{Cl}_4]$ للمعقد

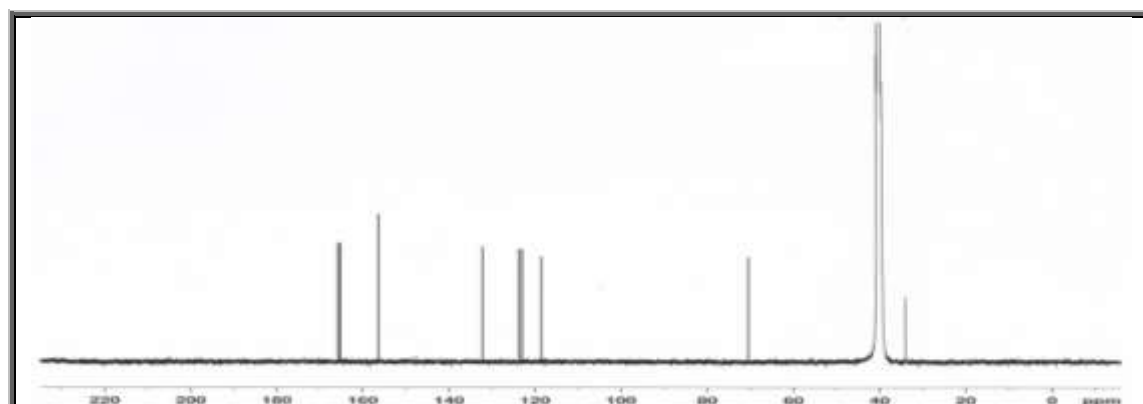
طيف الرنين النووي المغناطيسي ^{13}C NMR $[\text{H}_2\text{L}]$ و معقد $[\text{Co}_2(\text{L})\text{Cl}_4]$

أظهر طيف الرنين النووي المغناطيسي ^{13}C NMR $[\text{H}_2\text{L}]$ للليكанд الحر ($\delta=170, 166, 158$ ppm) في مذيب DMSO-d_6 ، الشكل (10-3) ازاحة كيميائية عند ($\delta=140, 122, 118$ ppm) تعود الى مجاميع $\text{H}-\text{C}=\text{N}$ و $\text{C}=\text{O}$ والازاحة الثابدة اي ازول على التوالي اما ذرات الكاربون الاروماتية فقد اظهرت اشارات ازاحة عند ($\delta=35$ ppm) في حين ازاحة عند ($\delta=35$ ppm) يمكن اعزائها الى ذرات الكاربون لمجاميع المثنين للجسر.



شكل (3-10): طيف ^{13}C NMR لليكанд الحر $[\text{H}_2\text{L}]$

في حين أظهر طيف الرنين النووي المغناطيسي ^{13}C NMR $[\text{Co}_2(\text{L})\text{Cl}_4]$ للمعقد (الشكل 11-3) تأثير التنسق مع الليكанд الحر بتغيير أماكن الانزياح الكيميائي من جهة وظهور اشارة جديدة من جهة اخرى، حيث اظهر الانزياح عند ($\delta=164$ ppm, 2C) التي تعود الى ذرتي الكاربون داخلة ضمن حلقي الثيابيازول المجاورة الى ذرتي الكبريت،اما الانزياح عند ($\delta=164$ ppm, 2C) التي تعزى الى مجموعتين $\text{N}=\text{CH}()$ ،اما الانزياح عند ($\delta=163$, ppm, 2C) التي تعود الى ذرتي الكاربون الداخلة ضمن حلقي البنزين($\text{C}-\text{O}$) أما الانزياح عند مدى ($\delta=111-132$ ppm, 10C) التي تعود الى ذرات داخلة ضمن حلقي البنزين،اما الانزياحات عند ($\delta=34$ ppm, 2C) التي تعزى الى مجموعتي المثيلين متمااثلين للبيئة،في حين ظهر اشارة جديدة لم تكن موجودة في الليكанд الحر عند ($\delta=71, 69, 72$ ppm, 2C) التي تعود الى مجموعتي المثيلين متمااثلين للبيئة المرتبطة بذرتي أوكسجين كما وردة في الادبيات^[29].



شكل (11-3): طيف ^{13}C NMR للمعقد $[\text{Co}_2(\text{L})\text{Cl}_4]$

طيف كرومومتوغرافيا الغاز

أظهر طيف (GC) كرومومتوغرافيا الغاز لليكанд (H_2L) (الشكل 12-3) قمتين عند زمن احتجاز (1.77 و 1.03) مشيرة الى وجود المركب بصفتين فراغيتين (Syn-Anti).

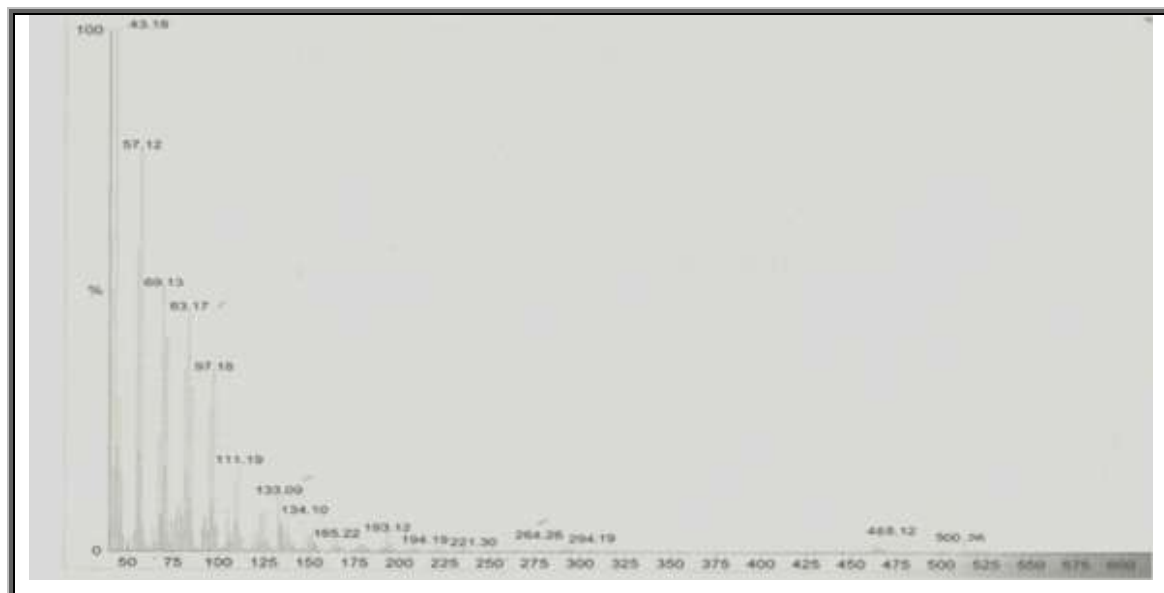


الشكل (12-3) : كروموتغرافيا الغاز لليكانت الحر [H₂L]

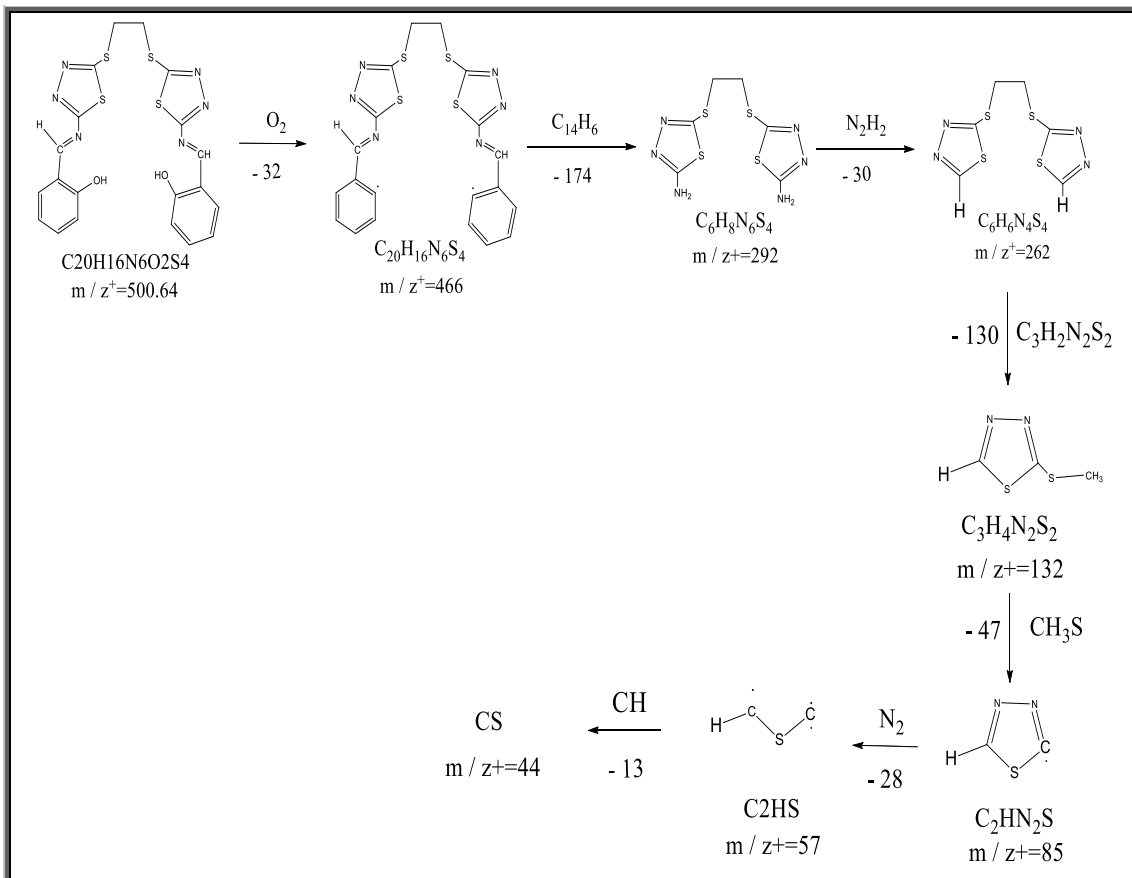
Mass Spectra

طيف الكتلة

طيف الكتلة لليكانت [H₂L] .
أظهر طيف الكتلة لليكانت (H₂L) الشكل (13-3) قمة مميزة عند (m / z+=500.64)



الشكل (13-3) : طيف الكتلة لليكانت الحر [H₂L]



مخطط طيف الكتلة لليكاند [H₂L]

المصادر:-

- | | |
|--|---------------------|
| 1- G. W. Wilkinson, R. D. Gill and J. A. Mc. Cleverty, "Comprehensive Chemistry", Vol. 2 (1987). | Coordination |
| 2- L . Zhang,Q. H. Liu, F. peng and M. Du; polish J. Chem., | 79,655(2005) |
| 3- S. K. Kumar, P. S. Rao, L. Krishnaiah, B. Jayaraj and P. Chiranjecvi; (2004). | Anal. Sci., 20, 951 |
| 4- A. papakyriakou, I. Bratsos and N. Katsaros; J. Serb. Chem. Soc. 68 | (4-5) 337 (2003). |
| 5- M. Sham Sipur, T. Pour Shaberi, A. Reza Karami and M. Hosseini; 501, 55 (2004). | Anal. Chim. Acta., |
| 6- A. Lycka, D. Lustinec, J. Holecek, M. Nadvornik and M. Holcapek; 50, 203 (2001). | Dyes and Pigment., |
| 7- D.F. Shriver, P.W. Atkins, T.L. Overton, J. P. Rourke, M. T. Weller, T.F. Salmon, J. H. Weber, and F. A. Armstrong; " Inorganic Chemistry ",6 th Ed., NewYourk, (2009). | |
| 8- J. E. Huheey, E. A. Keiter, and R. L. Keiter; "Inorganic Chemistry" 4 th Edn., Harpper Collins College Publishers, (1993). | |
| 9- B. M. Suijkerbuijk, B. N. Aerts, H. P. Dijkstra, M. Lutz, A. L. Spek, G. V. Koten, and R. J. Klein-Gebbink, , "Click" 1,2,3-Triazoles as Tunable Ligands for Late Transition Metal Complexes; Dalton Transactions, 13, 1273-1276, (2007). | |
| 10- A. Papakyriakou, I. Bratsos, and N. Katsaros, Structural Studies on Metallocble- Omycin: The Interaction of Pt (II) and Pd (II) with Bleomycin; Journal of the Serbian Chemical Society , 68, 4, 337-348, (2003). | |
| 11- M. Jaber, H. Ahmad, W. Jaafer, Formation of polymeric Chain Assemblies of Transition Metal Complexes with a Multidenate Schiff- Bases; Transition Metal Chemistry , 34 , 593-598, (2009). | |

- 12- S. Davagi, Y. Degani; "The Chemistry of Carbon Nitrogen Double Bond" ,ed. S. Patai John Wiley and Sons, Interscience, New York, (1970).
- 13- A. A. Elassar, H. H. Dib, N. A. Al-Awadi, and M. H. Elnagdi, Chemistry Of Carbofunctionally Substituted Hydrazones; *Arkivoc*, 272-315, (2007).
- 14- A. Emady; Synthesis and Characterization of Some New Schiff Bases Metal Complexes, *M.sc. Thesis* , University of Shiraz, Iran, (2003).
- 15- G. A. Wilkinson, R. D. Gillard, and J. A. Cleverly "Comprehensive Coordination Chemistry", 2Ed., Pergamon Press, Oxford, England, (1987).
- 16- K. Randeya, O. Prakash, and R. Singh, Oxovanadium(IV) Complexes of Some New Tetradentate Schiff Bases; *Indian Journal of Chemistry* , 60, (1983).
- 17- N. Biradar, V. Kulkani , and N. Silmokadam, Complexes of Lead(IV)With Schiff Bases , *Journal of Inorganic and Nuclear Chemistry*, 34 , 3651, (1972) .
- 18- D. Arora, K.Lal, S. Gupta, and S. Shahni, Studies on Homo- Trinuclear Complexes of Manganese(II),Cobalt(II)and Nickel(II)with a Nanodenatate Ligand; *Polyhedron*, 5, (1986) .
- 19 - S. Jalhan, A. Jindal, and A. Gupya, Synthesis, Biological Activities and Chemistry of Thiadiazole Derivatives and Schiff Bases; *Asian J Journal of Pharmaceutical and Clinical Research*,5,3,(2012).
- 20- Z. Chohan, M. Farooq, and M. Iqbal, Synthesis, Characterization and Biological Properties of Anions of Bivalent Transition Metal [Co(II) and Ni(II)] Complexes With Acylhydrazine Derived ONO Donor Schiff Bases; *Metal- Based Drugs*, 7, 133-139, (2000).
- 21- A. Dawood, S. Hadawi, J. Hameed; S4 mono nuclear and thier complexes with some metal ions , synthesis and physical studies ,(2014).
- 22- P .Vasu, G. Reddy, Y .W.Lin, and H.T.Chang , Synthesis of Novel Enzothiazole Compounds with an Extended Conjugated System , *Arkivoc* , 16 , 113-122, (2007).
- 23 - J. Vicente, A. Arcas, Aqua Palladium Complexes: Synthesis, Properties and Application; *Journal Coordination Chemistry Reviews*, 249 , 1135-1154 , (2005).
- 24- S. Malik, S. Ghosh, B. Jain, A. Singh, and M. Bhattacharya, Synthesis, Characterization, and Biological Evaluation of Some 3d-Metal Complexes of Schiff Base Derived from Xipamide Drug; *International Journal of Inorganic Chemistry*, 6 , (2013).
- 25- R. M. Ahmad, H. A. Hasan, E. I. Yousif, and D. F. Hussien, Synthesis , Characterize and Biological Studies of (Cr(III) ,Mn(II) ,Zn(II)and Cd(II)) Complexs With Schiff-Base Ligand; *Diyala Journal For Pure Sciences*; 8 , 3, (2012).
- 26- S. G. Wanale, S. P. Pachling, Antibacterial Activity of Some Newly Synthesized 2, 5- Substituted Oxadiazoles and Thiadizole and Their Transition Metal Complexes; *Research Journal of Pharmaceutical, Biological and Chemical Sciences* , 3, 64 , (2012).
- 27- H. Chiririwa, J. R. Moss, D. Hendricks, G. S. Smith, and R. Meijboom, Synthesis, Characterisation and in Vitro Evaluation Of Platinum(II) and Gold(I) Iminophosphine Complexes For Anticancer Activity; *Polyhedron* ,49 , 29-35 , (2013).
- 28- P. Mullick, S. A. Khan, S. Verma, and O. Alam, Thiadiazole Derivatives as Potential Anticonvulsant Agents; *The Bulletin of the Korean Chemical Society*, 32 , 3 , (2011).
- 29- C. T. K. Kumar, J. Keshavayya, T. N. Rajesh, S. K. Peethambar, and A. R. S. Ali, Synthesis, Characterization, and Biological Activity of 5- Phenyl- 1,3,4-Thiadiazole-2-Amino Incorporated Azo Dye derivatives; *Organic Chemistry International*, 7 , (2013).